

В.Д. Александров, О.В. Соболев, В.А. Постніков

Дослідження передкристалізаційних переохолоджень у системі вода-сульфат натрію

*Донбаська національна академія будівництва і архітектури, 86123, Україна, Донецька обл.,
м. Макіївка, вул. Державіна, 2, e-mail: cluck@mail.ru*

У роботі методами циклічного термічного аналізу вивчений вплив термічної передісторії розчинів у системі вода-декагідрат сульфату натрію на величини передкристалізаційних переохолоджень. Установлено умови кристалізації розчинів в два етапи. Знайдено границі метастабільності розчинів, що нанесена на діаграму стану, і оцінені теплові ефекти плавлення зразків для заевтектичної області.

Ключові слова: кристалізація, сульфат натрію, переохолодження, метод циклічного термічного аналізу.

Стаття постуила до редакції 07.04.2008; прийнята до друку 15.12.2008.

Кристалогідрати сульфату натрію $\text{Na}_2\text{SO}_4 \cdot 10\text{H}_2\text{O}$ (СН-10) та його водні розчини використовуються як термоакумулюючі матеріали (ТАМ) що засновуються на фазових перетвореннях плавлення \leftrightarrow кристалізація [1-3] завдяки високій питомій ентальпії плавлення $\Delta H = 243,3$ кДж/кг [4]. У сполученні з водою, що має $\Delta H = 335$ кДж/кг [5] система вода – декагідрат сульфату натрію може дати цілком задовільні значення щільності запаса енергії, що, для зразків різної сполуки, які можуть бути використані в якості ТАМ в інтервалі температур від евтектичної температури T_e до температури плавлення T_L для СН-10. Крім величини ΔH , іншими характеристиками для ТАМ є знання величин передкристалізаційних переохолоджень ΔT^- щодо температури ліквідус і виявлення умов їхнього регулювання, а також стійка стабільність значень ендо- і екзотермічних ефектів при безперервних циклах нагрівання й охолодження. Немаловажне значення для ТАМ має залежність величин ΔT^- й ΔH від передісторії розчинів, від швидкостей нагрівання й охолодження, від часу ізотермічної обробки розчинів як вище, так і нижче температури ліквідус і т.д.

З огляду на, те що в літературі відсутні систематичні дослідження зазначених параметрів на характер кристалізації, величини переохолоджень й ентальпій фазових перетворень розчинів у системі вода - сульфат натрію, у даній роботі ставилося завдання вивчення впливу термічної передісторії розчинів у даній системі на їхню кристалізацію й знаходження границь метастабільності в цій системі методами циклічного термічного аналізу (7).

Зразки в системі $\text{H}_2\text{O} (100-x)\text{-Na}_2\text{SO}_4(x)$ мали наступну сполуку: $x = 0$ (I); 11 (II); 26 (III); 33 (IV); 44

(V); 58 (VI); 72 (VII) і 86 вага % (VIII).

Зразок V – це стандартні кристали СН-10 марки Ч. Зразок I – це двічі перегнана дистильована вода. Зразки (II), (III), (IV) готували шляхом змішування десятиводного сульфату натрію з водою, а зразки (VI), (VII), (VIII) шляхом додавання в рідкий СН-10 безводного сульфату натрію (СН). Всі зразки мали однакові маси – 2 г, які поміщали в закриті скляні пробірки діаметром 10 мм. Усередині пробірки перебувала хромель-алюмелева термопара діаметром 0,5 мм, сигнал від якої надходив на самописний потенціометр КСП-4 зі шкалою на 2 мм. Для запису температур у широкому діапазоні каретку самописця переміщали за допомогою потенціометра ПП-63. Показання КСП-4 контролювали цифровим вольтметром В7-27А/1. Інформацію в координатах температура-час записували на діаграмну стрічку самописця в безперервному режимі. Швидкість нагрівання й охолодження підтримувалася майже однакової $\sim 0,3 \div 0,35$ град/с. Погрішність у вимірах температури становила 0,5 °С, а чутливість 0,2 °С. Пробірки зі зразками нагрівали в циліндричній печі опору довжиною 10 см і внутрішнім діаметром 20 мм при зовнішньому діаметрі 25 мм. Напругу на піч подавали від мережі змінної напруги, а подавану потужність регулювали автотрансформатором ЛАТРОм. Піч зі зразками виставляли на «вулицю» у зимовий час при температурі від -15 до -20 °С. Для запобігання небажаних перепадів напруги в мережі електроживлення до КСП-4 і до печі подавали через стабілізатор напруги. Вивчено по три зразка кожної сполуки, на кожному з яких проведено понад десяток послідовних термоциклів нагрівання й охолодження. Надійність і вірогідність отриманих результатів ґрунтувалася на збігу реперних крапок з довідковими

даними й багаторазовим повторенням відповідних екзо- і ендотермічних ефектів при безперервному термоцикуванні.

Нижче наводяться експериментальні дані для окремих зразків.

Десятиводний сульфат натрію (V).

Центральною «фігурою» у системі вода – сіль сульфату натрію є декагідрат сульфату натрію СН-10, тому спочатку дамо докладні експериментальні результати по ньому. Експерименти показали, що плавлення кристалів хімічної сполуки $\text{Na}_2\text{SO}_4 \cdot 10\text{H}_2\text{O}$ починалось при 31-32 °С и закінчувалось при температурі $T_L = 32,4$ °С, що співпадає з довідковими даними температури плавлення СН-10 [5].

По площі фігури між кривими нагрівання печі й зразка була підрахована теплота Q , витрачена на плавлення 2 г СН-10: $Q = 485$ Дж. При перерахуванні на одиницю маси одержали питому ентальпію плавлення $\Delta H_{SL} = 242,5$ кДж/кг, що близько до довідкового значення. Приблизно таке ж значення ΔH нами було отримано й методом ДСК.

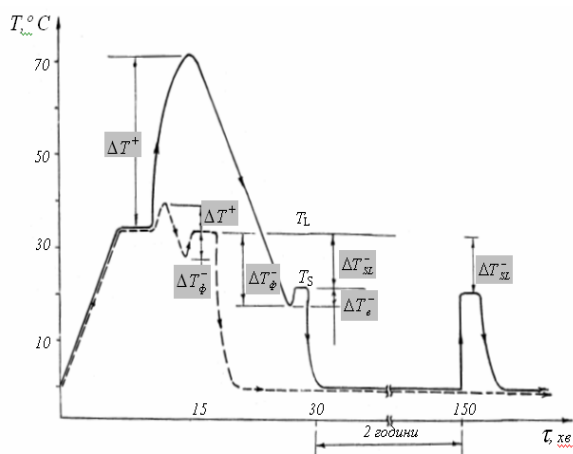


Рис. 1. Схематичні термограми нагрівання й охолодження СН-10, що характеризують різні види кристалізації.

При вивченні впливу перегріву ΔT^+ рідкої фази на характер наступної кристалізації СН-10 встановлено, що при невеликих ΔT^+ до $\sim 9 \div 10$ градусів вище T_L і подальшому охолодженні фіксуються досить рівне плато плавлення й фізичне переохолодження $\Delta T_{\phi}^- \approx 6 \pm 2$ °С, після якого починається процес затвердіння (рис. 1, пунктирна лінія). Після початку кристалізації температура монотонно піднімалася до температури кристалізації T_S , що практично збігається з температурою плавлення T_L . Масове затвердіння в цьому випадку є ізотермічним, про що свідчить горизонтальне плато кристалізації. При подальшому охолодженні й багатогодинній витримці такого зразка при температурах 0, 5 й 10 °С ніяких ознак фазового перетворення на термограмах виявлено не було. Починаючи з перегрівів $\Delta T^+ \approx 10^\circ$, тобто із перегрівом рідини від 43 °С і вище різко мінявся характер

кристалізації, який у корені відрізняється від того, що спостерігали при кристалізації слабо прогрітої рідкої фази. Як приклад на рис. 1 (суцільна крива) наведена термограма нагрівання й охолодження СН-10 від 0 °С до температури ~ 72 °С. На лінії охолодження в цьому випадку фіксується «первинна» кристалізація із трьома видами переохолодження: фізичне ΔT_{ϕ}^- , як різниця між T_L і мінімальної T_{\min} в області переохолодження перед початком кристалізації ($\Delta T_{\phi}^- = T_L - T_{\min}$), видиме ΔT_e^- , як різниця між температурою рівноважної кристалізації T_S (див. плато кристалізації) і T_{\min} ($\Delta T_e^- = T_S - T_{\min}$) і ΔT_{LS}^- – як різниця між T_L і T_S ($\Delta T_{LS}^- = T_L - T_S$). При цьому $\Delta T_{\phi}^- = T_{SL}^- + T_e^-$.

Слід особливо зазначити наявність горизонтального плато кристалізації при температурі $T_S = 22$ °С, що приблизно на 10 градусів нижче температури плавлення СН-10. Подібного плато при $T_S < T_L$ не спостерігається на звичайних простих речовинах і хімічних сполуках (не кристалогідратах). Про різкий характер зміни процесу затвердіння залежно від попереднього прогріву рідкої фази свідчить залежність різниці між T_L й T_S , тобто ΔT_{LS}^- від ΔT^+ , що відображено на узагальненому графіку рис. 2 (суцільна лінія). Причому характер, як якісний, так і кількісний залежності ΔT_{ϕ}^- від ΔT^+ і ΔT_{LS}^- від ΔT^+ має місце як при багаторазовому термоцикуванні того самого зразка, так і з використанням інших зразків подібної сполуки.

Величина ΔT_S^- , отже й температура ізотермічної кристалізації $T_S = 27,5$ °С практично не залежать від перегріву рідини, починаючи від $\Delta T_L^+ \approx 10^\circ$ і закінчуючи максимально дослідженим $\Delta T_L^+ \approx 40^\circ$. Можна побачити, що до перегрівів $\Delta T^+ \approx 10^\circ$ величина ΔT_{ϕ}^- монотонно росте, а потім «стабілізується» при середнім значенні $\langle \Delta T_{\phi}^- \rangle = 16^\circ$

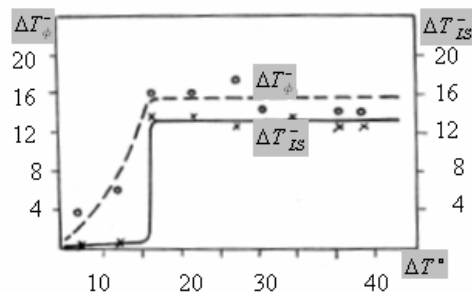


Рис. 2. Узагальнюючі графіки залежності переохолоджень ΔT_{ϕ}^- від ΔT^+ (пунктирна лінія) і ΔT_{LS}^- від ΔT^+ (суцільна лінія) при кристалізації декагідрату сульфату натрію.

з розкидом $\pm 2^\circ$ від циклу до циклу й з

використанням різних зразків СН-10, незалежно від попередніх перегрівів ΔT^+ від 10 до 40 °. Залежність же різниці ΔT_{LS}^- від перегріву (суцільна лінія) має стрибкоподібний характер: при $\Delta T^+ \leq 16^\circ$ $\Delta T_{LS}^- = 1-2^\circ$, а $\Delta T^+ \geq 16^\circ$ $\Delta T_{LS}^- = 13^\circ$.

Установлено, що подальша ізотермічна витримка частково закристалізованого зразка при 0 °С або 5 °С протягом 2 годин приводить до мимовільної вибухової кристалізації частини, що залишилася, яку можна назвати «вторинною» кристалізацією.

З порівняння теплових ефектів плавлення Q_L й «первинної» кристалізації Q_S' встановлено, що $Q_S' \approx 0,33 \cdot Q_L$, тобто $Q_S' \approx 80$ Дж, що становить приблизно одну третину від теплоти плавлення. Це свідчить про те, що при «первинній» кристалізації твердіє лише третина вихідного об'єму зразка. Тепловий ефект Q_S'' «вторинної» кристалізації дорівнює $Q_S'' = 0,66 \cdot Q_L$, тобто $Q_S'' = 160$ Дж. Таким чином, сумарний тепловий ефект «первинної» й «вторинної» кристалізації дорівнює теплоті плавлення $Q_S' + Q_S'' = Q_L = 240$ Дж. «Вторинна» кристалізація на початковому етапі протягом 0,5÷1 с носила вибуховий характер, а наступне затвердіння відбувалося як і при «первинній» кристалізації ізотермічно при температурі $T_S = 22^\circ\text{C}$ зі швидкістю 20-25 C/c, про що свідчило горизонтальне плато при T_S (рис. 1).

Оскільки для СН-10 була встановлена стабільність переохолоджень ΔT_ϕ^- і ΔT_{LS}^- від циклу до циклу, починаючи від попередніх прогрівів рідкої фази від 43 С і вище, інші зразки в системі вода – сульфат натрію нагрівали до 75 °С і прохолоджували.

Зразок I – Вода. Раніше вода докладно була досліджена нами [8] на предмет впливу термічної передісторії на величину переохолодження ΔT_ϕ^- . Тому в контексті даної роботи випробування води проводили лише для фіксації передкристалізаційного переохолодження в задані в даній роботі умовах: маса води 2,0 г, швидкість охолодження $\sim 0,3 \div 0,35$ град/с, попередній перегрів $\Delta T^+ = 75^\circ\text{C}$.

На відміну від сульфату натрію (V) і його водяних розчинів (зразки II – VIII) при кристалізації води величина ΔT_ϕ^- виявлялася рівної видимому переохолодженню ΔT_e^- , тобто температура T_x завжди досягала 0°С. У цих умовах середнє фізичне переохолодження води становило 8°.

Зразок (II) – 11%-ний водяний розчин сульфату натрію. Термограма охолодження даного розчину (рис. 3 b) свідчить про його рівноважну кристалізацію при температурі -4°С, що близько до значення евтектичної температури льоду з гептагідратом сульфату натрію (-3,5°С [10]), ніж доевтектичної температури льоду з декагідратом (-

1,5°С), та й сполука зразка II близький до евтектичному $\text{H}_2\text{O} - \text{Na}_2\text{SO}_4 \cdot 7\text{H}_2\text{O}$.

Зразки III й IV – це 26 й 33% водяні розчини, що входять до складу заевтектичних у системі вода – СН-10. Для цих розчинів, як і для СН-10 на лінії охолодження фіксуються два види кристалізації: «первинна» й «вторинна». На рис. 3 дані їх термограми охолодження.

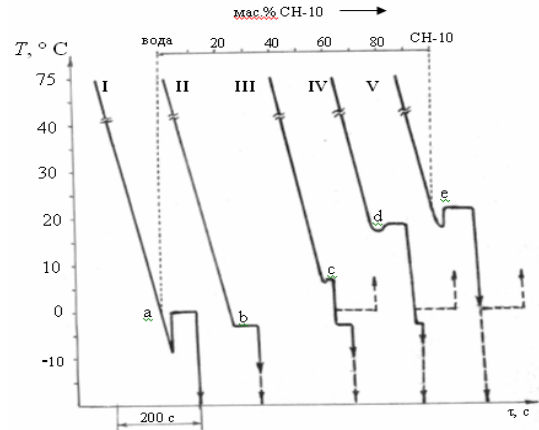


Рис. 3. Схематичні термограми охолодження водяних розчинів сульфату натрію.

При порівнянні термограм зразків III й IV з термограмою V охолодження кристалогідрату СН-10 видно, що з ростом концентрації солі СН (або, що те ж, кристалогідрата СН-10) росте тривалість «первинної» кристалізації, а також збільшується температура рівноважної кристалізації $T_S(\text{III}) < T_S(\text{IV}) < T_S(\text{V})$. Пунктирними лініями показані умови виникнення «вторинної» кристалізації розчинів. Пунктири вправо означають час витримки розчинів при 0 °С, а наступні пунктири вгору – вибуховий характер «вторинної» кристалізації на початковому етапі. На даному етапі температура швидко піднімається до відповідних значень $T_S(\text{III})$ і $T_S(\text{IV})$, при яких завершується весь процес замерзання розчинів. При охолодженні розчинів III й IV нижче евтектичної температури -4 С спостерігається плато при даній температурі, довжина якого зменшується в міру збільшення концентрації СН (або СН-10). При охолодженні розчинів II-V до -15;-20 С (мінімальних у наших умовах) і без ізотермічних витримок «вторинної» кристалізації не зафіксовано.

Зразки VI, VII й VIII ставляться до пересиченою сіллю сульфату натрію області діаграми вода – СН. Термограми охолодження цих розчинів мають вигляд термограми охолодження СН-10 (рис. 1 і рис. 3 d) з «первинною» й «вторинною» кристалізацією при $T_S = 22^\circ\text{C}$, що збігається з аналогічною температурою зразка V. Їхня відмінність полягає в тім, що в міру збільшення концентрації солі сульфату натрію тривалість «первинної» кристалізації при T_S збільшується, а час «вторинної» кристалізації закономірно зменшується.

Експериментальні дані по температурах ліквідусу T_{L1} і рівноважної кристалізації T_{S1} і мінімальним температурам $T_{min,i}$, після яких починається кристалізація, нанесені на діаграму стану вода – сульфат натрію (рис. 4).

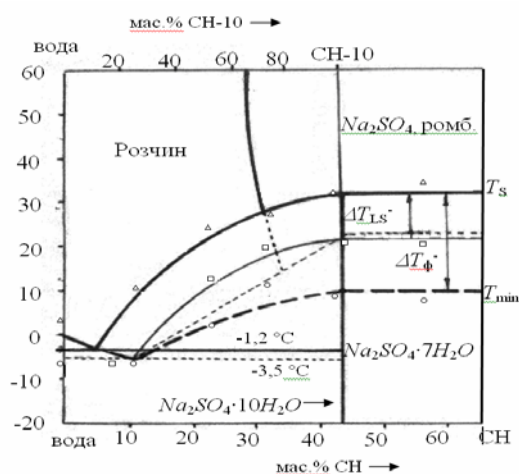


Рис. 4. Діаграма стану вода-сульфат натрію [10] на якій нанесені експериментальні крапки: пунктирною лінією визначена межа метастабільної фази – гептагідрату сульфату натрію $\text{Na}_2\text{SO}_4 \cdot 7\text{H}_2\text{O}$. - температури рівноважної кристалізації розчинів; - температури плавлення і крапки ліквідуса для розчинів T_{L1} ; - температури T_{min} початку кристалізації розчинів.

Систему вода – сульфат натрію умовно можна розділити на дві складові: вода – декагідрат сульфату натрію (до 33 вага % СН) і СН-10 – СН [10]. Кристалогідрат $\text{Na}_2\text{SO}_4 \cdot 10\text{H}_2\text{O}$ розчинюється (чи плавиться в кристалізаційній воді при $T_L = 32,4^\circ\text{C}$). Окремо стабільного $\text{Na}_2\text{SO}_4 \cdot 10\text{H}_2\text{O}$ в системі вода – СН є і метастабільний кристалогідрат – гептагідрат $\text{Na}_2\text{SO}_4 \cdot 7\text{H}_2\text{O}$.

Аналіз отриманих ліній свідчить про те, що в частині діаграми розчинності вода – декагідрат сульфату натрію в міру зменшення концентрації СН-10 фізичні переохолодження ΔT_{ϕ}^- , а також температури T_S рівноважної кристалізації розчинів закономірно зменшуються. В області пересичених розчинів відносно СН-10 діаграми стану спостерігається сталість температур T_S і початку кристалізації розчинів T_{min} . У такий спосіб на діаграмі вода – сульфат натрію можна вказати метастабільну зону від температури ліквідусу до критичних температур T_{min} початку кристалізації. Порівнюючи лінію, відзначену квадратами, тобто температури T_S рівноважної кристалізації з лінією, відзначеною дрібними штрихами, тобто температурами кристалізації гептагідрата сульфату натрію, отриману в роботі [10], бачимо досить гарний збіг. Це свідчить про те, що з області переохолодженого розчину кристалізується метастабільна фаза гептагідрата сульфату натрію $\text{Na}_2\text{SO}_4 \cdot 7\text{H}_2\text{O}$. В області діаграми, обмежену водою і зразками складу V фаза $\text{Na}_2\text{SO}_4 \cdot 7\text{H}_2\text{O}$ поглинає воду

до складу декагідрата: $\text{Na}_2\text{SO}_4 \cdot 7\text{H}_2\text{O} + 3\text{H}_2\text{O} = \text{Na}_2\text{SO}_4 \cdot 10\text{H}_2\text{O}$. В області пересичених розчинів (для зразків VI - VIII) метастабільні кристалогідрати розпадаються на СН-10 і СН за схемою [11] $10\text{Na}_2\text{SO}_4 \cdot 7\text{H}_2\text{O} = 7\text{Na}_2\text{SO}_4 \cdot 10\text{H}_2\text{O} + 3\text{Na}_2\text{SO}_4$. Про те, що формуються кристали СН-10 свідче плато плавлення при температурі плавлення СН-10 $32,4^\circ\text{C}$.

По температурах на лінії ліквідусу можна оцінити теплові ефекти для заевтектичної частини діаграми вода – декагідрат сульфату натрію. Уважаючи рідкий розчин ідеальним, інтегральну ентальпію розчинення $\Delta \bar{H}$ можна представити у вигляді [12] суми

$$\Delta \bar{H} = (1-c)\Delta \bar{H}_1 + c\Delta \bar{H}_2, \quad (1)$$

де c – концентрація кристалогідрату СН-10 у воді, $\Delta \bar{H}_1$, $\Delta \bar{H}_2$ – парціальні ентальпії розчинення води й СН-10 відповідно.

Зв'яжемо величини $\Delta \bar{H}_1$ й $\Delta \bar{H}_2$ у вигляді $\Delta \bar{H}_1 = \Delta S_1 \cdot T_e$ й $\Delta \bar{H}_2 = \Delta S_2 \cdot T_e$ з теплотами плавлення льоду ΔH_{L1} й декагідрату сульфату натрію ΔH_{L2} в складі евтектики: $\Delta S_1 = \frac{\Delta H_{L1}}{T_{L1}}$ і $\Delta S_2 = \frac{\Delta H_{L2}}{T_{L2}}$. Тоді для евтектичної сполуки ($c = c_e$) при евтектичній температурі T_e будемо мати

$$\Delta \bar{H}_e = \frac{\Delta H_{L1} T_e}{T_{L1}} (1-c) + \frac{\Delta H_{L2} T_e}{T_{L2}} c, \quad (2)$$

де T_{L1} й T_{L2} температури плавлення льоду й СН-10 відповідно.

При збільшенні концентрації СН-10 внесок першого доданка в загальну ентальпію буде зменшуватися через зниження концентрації евтектики, а внесок другого доданка буде зростати. У цьому випадку другий доданок буде характеризувати сумарний внесок розчинення чистих кристалів СН-10 при температурі ліквідусу і таких же кристалітів СН-10 у складі евтектики. Тому даний доданок є функція двох змінних – концентрації c і температури T .

Отже, вираження (1) для лінії ліквідусу в інтервалі концентрацій $c_e \leq c \leq 1$ і температур $T_e \leq T \leq T_{L2}$ прийме вид

$$\Delta \bar{H} = \frac{\Delta H_{L1} T_e}{T_{L1}} (1-c) + \frac{\Delta H_{L2} T}{T_{L2}} c. \quad (3)$$

Дійсно, при $c \rightarrow 1$ й $T \rightarrow T_{L2}$ $\Delta \bar{H} \rightarrow \Delta H_{L2}$, а при $c \rightarrow c_e$ й $T = T_e$, одержуємо вираження (2).

Розрахунки по формулі (3) далечіні наступні значення $\Delta \bar{H}$: 321,9; 306,2; 293,0; 275,7; 259,1; 244 кДж/моль відповідно при концентраціях $c=0,11$ (c_e); 0,25; 0,4; 0,6; 0,8 й 1,0 СН-10. При цьому «внесок» води в евтектичну складову $\Delta \bar{H}$ монотонно зменшується: 300,2; 250,1; 200,0; 133,4; 66,7; 0 кДж/моль, а роль СН-10 відповідно зростає: 21,7; 56,2; 93,0; 142,4; 192,4; 244 кДж/моль. Аналогічна тенденція спостерігається й на ДСК-грамах розчинів у системі вода - СН-10.

Таким чином, у роботі методами циклічного термічного аналізу вивчений вплив термічної передісторії розчинів у системі вода - декагідрат сульфату натрію на величини передкристалізаційних

переохолоджень. Установлено умови кристалізації розчинів у два етапи. Знайдено границі метастабільності розчинів, що нанесена на діаграму стану, і оцінені теплові ефекти плавлення зразків для заевтектичної області.

- [1] В.Д. Левенберг М.Р. Ткач. *Аккумуляция тепла*. Техника, Киев. 1991. 220 с.
- [2] Erbery Robert Von. The crystallization of sodium sulfate decahydrate // *Ber. Bunsenges. Phys. Chem*, **79**(8), pp. 653-657 (1975).
- [3] Li Gyong Hui, Kim Sung Chol, Li Sung Hwan. Исследование декагидрата сульфата натрия как аккумулятора тепла // *Chem. Eng.*, (5), pp. 25-27 (1990)ю
- [4] Л.В. Шихеева, В.В. Зырянов. *Сульфат натрия. Свойства и производство*. «Химия», Л. 240 с.
- [5] И.Т. Горонковский, Ю. П. Назаренко, Е. Ф. Некряч. *Краткий справочник по химии*. АН УССР, Киев. 660 с. (1962).
- [6] В.Д. Александров, О.В. Соболев. Экспериментальное исследование влияния перегрева жидкой фазы относительно температуры плавления на процесс кристаллизации натрия тиосульфата пентаводного // *Наукові праці Донецького національного технічного університету. Серія Хімія і хімічна технологія*. **108** (8), сс. 65-69 (2006).
- [7] В.Д. Александров, В.А. Постников, С.А.Фролова. Термографический метод исследования параметров зародышеобразования при кристаллизации из переохлажденных расплавов // *Материаловедение*, (8), сс. 9-14 (2004).
- [8] В.Д. Александров, А.А. Баранников. Термические эффекты при кристаллизации капель воды в естественных условиях // *Журнал физ. Химии*, **74** (4), сс. 595-599 (2000).
- [9] Е.И. Ардашникова. Физико-химический анализ – неорганического синтеза // *Серовский образовательный журнал*, **8**(2), сс. 30-36 (2004).
- [10] Б.С. Коган, К.В. Ткачев, В.М. Шамриков. *Теплоаккумулирующие составы на основе сульфата натрия*. Сборник трудов ФГУП «УНИХИМ с ОЗ» № 72. 125 с. (2005).
- [11] Levy Henri, Lisensky George С. Кристаллическая структура декагидрата натрия (глауберова соль) и тетрабората декагидрата натрия // *Acta crystalogr.*, **В-34**(12) (1978).
- [12] А.Г. Стромберг, Д.П. Семченко. *Физическая химия*. Высшая школа, М. 527 с. (2001).

V.D. Aleksandrov, O.V. Sobol, V.A. Postnikov

Research of Overcoolings in System H₂O – Na₂SO₄

Donbas national academy of civil engineering and architecture

The research of overcoolings and character of crystallization in system H₂O-Na₂SO₄ by a method of the cyclic thermal analysis.

Keywords: crystallization, overcooling, a method of the cyclic thermal analysis